



Analysis of Meteorological Fluctuations and Long-Term Drought Assessment in the Southern Coasts of Iran: An Observational and Climate Modeling Approach

Seyed Hassan Alavinia,^{1*} Mahdi Salmanpour,² Atefeh Abkar³

1. Assistant Professor, Department of Nature Engineering, Faculty of Natural Resources and Earth Sciences, University of Kashan, Kashan, Iran. E-mail: s.h.alavinia@kashanu.ac.ir

2. Assistant Professor, Department of Statistics, Faculty of Mathematical Sciences, University of Kashan, Kashan, Iran. E-mail: salmanpour@kashanu.ac.ir

3. Master's Degree Graduate, Department of Nature Engineering, Faculty of Natural Resources and Earth Sciences, University of Kashan, Kashan, Iran. E-mail: atefeh.abkar@outlook.com

Article Info

Article type:

Research Article

Article history:

Received April 07, 2025

Received in revised form May 02, 2025

Accepted June 11, 2025

Available online June 22, 2025

Keywords: Drought, Climate Fluctuations, Standardized Precipitation Index, Climate Models, Downscaling

ABSTRACT

Research Topic: This study analyzes drought trends at five synoptic stations along the southern coast of Iran (Bandar Abbas, Bandar Lengeh, Bushehr, Chabahar, and Kish) using the Standardized Precipitation Index (SPI) at two temporal scales: 12-month (short-term) and 48-month (long-term).

Method: In this study, five synoptic stations in the southern region of Iran were selected. For the observational data spanning the period 1985–2021, the 12-month (SPI-12) and 48-month (SPI-48) Standardized Precipitation Indices were calculated, and seasonal and multi-year drought and wetness patterns were identified. Subsequently, future precipitation for the period 2023–2043 was projected under two climate change scenarios—the optimistic (SSP1-2.6) and pessimistic (SSP5-8.5) scenarios of the CMIP6 project—using the MPI-ESM1.2-HR climate model and the SDSM. The corresponding SPI indices were then computed. For drought monitoring, the SPI was calculated at 12- and 48-month scales for both observational data and the projected data using the SPEI package in R software.

Results: The overall trend of drought and wet periods indicates that severe drought events occurred at the Bandar Abbas station in the years 1994, 2000, and 2012. In contrast, severe wet periods were observed in this station in 1988, 1990, and 2007. Similar conditions were recorded at the Bandar Lengeh station, with severe droughts in 1987, 2003, and 2011 and severe wet periods in 1990, 1998, and 2006. The Bushehr and Kish stations exhibited analogous patterns, with severe wet periods in 1990, 1998, and 2006 and droughts in 1987, 2003, and 2011. Notably, the year 1994 marked extreme conditions for all stations, while 1990 was characterized by wet periods across all five stations. Regarding future projections, the results indicate that under the SSP5-8.5 scenario, the intensity of drought is more pronounced in the western stations compared to the eastern stations. The 12-month SPI reveals more rapid fluctuations in drought conditions, making it suitable for assessing seasonal or annual droughts.

Conclusions: The analysis of the SPI (Standardized Precipitation Index) with observational data demonstrated that drought patterns in this region are complex and influenced by multiple factors, including changes in atmospheric systems, oceanic circulation patterns, and human activities. The projections of this study suggest that under the SSP5-8.5 scenario, the southern coastal regions of Iran will face a significant increase in the intensity and frequency of droughts. The findings of this research have important implications for water resource management and regional planning in southern Iran. Given the predicted rise in drought intensity and frequency, adopting adaptation measures such as developing early drought warning systems, improving water resource management, enhancing water use efficiency, modifying cropping patterns, promoting drought-resistant agriculture, diversifying economic resources to reduce reliance on agriculture, and raising public awareness about droughts and adaptation strategies is essential to mitigate the adverse effects of this phenomenon.

Cite this article: Alavinia, H., Salmanpour, M., Abkar, A. (2024). Analysis of Meteorological Fluctuations and Long-Term Drought Assessment in the Southern Coasts of Iran: An Observational and Climate Modeling Approach. *ECOHYDROLOGY*, 12(2), 732–748. <http://doi.org/10.22059/IJE.2025.389977.1862>



© Seyed Hassan Alavinia, Mahdi Salmanpour, Atefeh Abkar.

Publisher: University of Tehran Press.

DOI: <http://doi.org/10.22059/IJE.2025.389977.1862>

Introduction

Drought is one of the most significant climatic hazards with far-reaching impacts on water resources, agriculture, and food security. Its severity and frequency are exacerbated by factors such as reduced precipitation, rising temperatures, and changes in atmospheric circulation patterns. In recent years, climate change has led to an increase in the intensity and frequency of droughts, particularly in arid and semi-arid regions such as Iran. Due to the country's heavy reliance on surface and groundwater resources, drought has caused considerable damage to natural resources and sustainable development. Continuous monitoring and forecasting of drought through various indices and climate models serve as effective tools for water resource management and the development of adaptation strategies. Large-scale climate models, such as MPI-ESM1.2-HR, in combination with downscaling techniques like SDSM, can play a crucial role in accurately simulating future climate and drought conditions. This study aims to analyze drought conditions using observational data and future climate projections under different scenarios, with the goal of evaluating future trends and proposing appropriate management strategies in response to anticipated climatic changes.

Martial and Method

This study examines drought variability along the southern coasts of Iran using data from five synoptic stations—Bandar Abbas, Bandar Lengeh, Bushehr, Chabahar, and Kish—located along the Persian Gulf and the Gulf of Oman. The region, characterized by a hot and arid to semi-arid climate with average annual rainfall around 200 mm, is influenced by several atmospheric systems, including dry air masses from the Arabian Peninsula, humid monsoon flows from the Indian Ocean, and Sudanese systems. These contribute to climatic variability and make the region highly sensitive to drought. Monthly precipitation data from 2000 to 2023 were obtained, quality-checked, and used to calculate the Standardized Precipitation Index (SPI) at 12- and 48-month timescales using the *SPEI* package in R. SPI, based on gamma distribution fitting, is a robust tool for detecting drought severity across temporal and spatial scales. To assess future drought risk, projections from the CMIP6 MPI-ESM1.2-HR climate model were used under two emission scenarios: SSP1-2.6 (low emissions) and SSP5-8.5 (high emissions). Model outputs were statistically downscaled using SDSM to station-level resolution. SPI values were then computed for the projected period (2023–2043) to evaluate potential drought patterns under changing climate conditions.

Results

This study analyzed the Standardized Precipitation Index (SPI) at 12- and 48-month scales for five synoptic stations in southern Iran (Bandar Abbas, Bandar Lengeh, Bushehr, Chabahar, and Kish), using observational data from 1985 to 2021 and projected precipitation under two climate change scenarios: SSP1-2.6 (optimistic) and SSP5-8.5 (pessimistic) for the period 2023–2043. Results show that droughts predominantly occur in summer, while wet periods are more frequent in winter. The SPI-12 captured short-term fluctuations and revealed an increase in the frequency of moderate to severe droughts across all stations in the past two decades. The SPI-48 reflected long-term climatic trends, with persistent droughts observed in the 1990s and early 2000s, often linked to large-scale climatic drivers like ENSO, NAO, and monsoon variability. Stations like Bandar Abbas and Chabahar showed similar drought patterns due to common atmospheric influences, while Bushehr exhibited unique behavior due to increased evaporation linked to warming. Future projections indicate more intense and frequent droughts under SSP5-8.5, especially after 2030, with long-term SPI values dropping significantly, suggesting structural water stress. Conversely, under SSP1-2.6, some recovery in SPI values is projected after 2040. The findings highlight the vulnerability of southern Iran's coastal regions to climate-induced drought intensification. Without mitigation, regions like Bandar Lengeh may approach semi-arid conditions. However, emission reductions under optimistic scenarios could stabilize precipitation patterns and reduce future drought risk, emphasizing the need for adaptive water resource management and international climate cooperation.

Conclusion

This study aimed to analyze historical and future drought trends in southern Iran using the Standardized Precipitation Index (SPI) at 12- and 48-month scales. Historical data and future

projections under two climate scenarios—SSP1-2.6 (optimistic) and SSP5-8.5 (pessimistic)—were used. Results indicate that under the pessimistic scenario, the region will likely experience a significant increase in drought frequency and severity, particularly after 2035. Historical SPI analyses showed intensified long-term droughts, especially after 2000, influenced by shifts in atmospheric systems, oceanic patterns, and human activities. The 48-month SPI was particularly effective in identifying long-term water stress, notably in Kish, where groundwater decline is evident. The findings are consistent with global and regional studies linking climate change to intensified droughts through rising temperatures and changing precipitation patterns. However, some studies suggest localized increases in extreme rainfall, highlighting the importance of spatial and methodological differences. The study also emphasizes the importance of monsoon variability and high-pressure systems in shaping drought patterns, particularly contrasting impacts in Bushehr and Chabahar. The use of advanced CMIP6 models, including MPI-ESM1.2-HR, confirmed a potential 30% SPI decline under SSP5-8.5. These results underscore the urgent need for adaptation strategies in water resource management, agriculture, and public awareness to mitigate climate-related drought risks.

Author Contributions

All authors contributed to the study conception and design. Material preparation, data collection, and analysis were performed by Seyed Hassan Alavinia, Mehdi Salmanpour and Atefeh Abkar. The first draft of the manuscript was written by Seyed Hassan Alavinia and all authors commented on previous versions of the manuscript. All authors read and approved the final manuscript.

Data Availability Statement

The data that support the findings of this study are available from Iran Meteorological Organization (IMO), but restrictions apply to the availability of these data, which were used under license for the current study, and so are not publicly available. Data are however available from the authors upon reasonable request and with permission of IMO. The General Circulation Models (GCM) datasets for this research were obtained from <https://climate-scenarios.canada.ca/?page=pred-cmip6#cmip6-predictors>.

Acknowledgements

We would like to thank the IMO for providing the observational data of the study area.

Ethical considerations

All text used in this research has been written in accordance with scientific and ethical principles.

Funding

The authors declare that no funds, grants, or other support were received during the preparation of this manuscript.

Conflict of interest

The authors declare no conflict of interest.



تحلیل نوسانات هواشناسی و ارزیابی خشکسالی بلندمدت سواحل جنوبی ایران با رویکرد مشاهداتی و مدل‌سازی اقلیمی

سید حسن علوی‌نیا^۱, مهدی سلمان‌پور^۲, عاطفه آبکار^۳

۱. استادیار گروه مهندسی طبیعت دانشکده منابع طبیعی و علوم زمین، دانشگاه کاشان، کاشان، ایران. رایانه: s.h.alavinia@kashanu.ac.ir
۲. استادیار گروه آمار، دانشکده علوم ریاضی، دانشگاه کاشان، کاشان، ایران. رایانه: salmanpour@kashanu.ac.ir
۳. دانشجوی کارشناسی ارشد مهندسی طبیعت-آبخیزداری شهری، دانشکده منابع طبیعی و علوم زمین، دانشگاه کاشان، کاشان، ایران. رایانه: atefeh.abkar@outlook.com

اطلاعات مقاله	چکیده
نوع مقاله: مقاله پژوهشی	موضوع: تحلیل نوسانات هواشناسی و ارزیابی خشکسالی بلندمدت سواحل جنوبی ایران با رویکرد مشاهداتی و مدل‌سازی اقلیمی. هدف: این مطالعه روند خشکسالی را در پنج ایستگاه سینوپتیک در امتداد سواحل جنوبی ایران (بندرعباس، بندرلنگه، بوشهر، چابهار و کیش) با استفاده از شاخص استاندارد بارش (SPI) در دو مقیاس زمانی ۱۲ ماهه (کوتاه‌مدت) و ۴۸ ماهه (بلندمدت) تحلیل می‌کند.
تاریخ دریافت: ۱۴۰۴/۰۱/۱۸ تاریخ بازنگری: ۱۴۰۴/۰۲/۱۲ تاریخ پذیرش: ۱۴۰۴/۰۳/۲۱ تاریخ انتشار: ۱۴۰۴/۰۴/۰۱	روش تحقیق: در این پژوهش، پنج ایستگاه سینوپتیک در منطقه جنوبی ایران انتخاب شدند. برای داده‌های مشاهداتی دوره ۱۹۸۵-۲۰۲۱، شاخص استاندارد بارش ۱۲ ماهه (SPI-12) و ۴۸ ماهه (SPI-48) محاسبه شد و الگوهای خشکسالی و ترسالی فصلی و ترسالی شناسایی گردید. سپس، بارش آینده برای دوره ۲۰۲۳-۲۰۳۳ تحت دو سناریوی تغییر اقلیم، سناریوی خوش‌بینانه (SSP1-2.6) و بدینانه (SSP5-8.5)، پیروزه CMIP6 با استفاده از مدل اقلیمی MPI-ESM1.2-HR و مدل آماری SDSM پیش‌بینی شد و شاخص‌های SPI متاظر محاسبه گردید. برای پیش‌بینی خشکسالی، شاخص SPI در مقیاس‌های ۱۲ و ۴۸ ماهه هم برای داده‌های مشاهداتی و هم برای داده‌های پیش‌بینی شده با استفاده از بسته SPEI در نرم‌افزار R محاسبه شد.
کلیدواژه‌ها: خشکسالی، نوسانات آب و هوا، شاخص بارش، استانداردشده، مدل‌های اقلیمی، کوچک‌مقیاس‌سازی.	یافته‌ها: روند کلی دوره‌های خشکسالی و ترسالی نشان می‌دهد که در ایستگاه بندرعباس، خشکسالی‌های شدید در سال‌های ۱۹۹۴ و ۲۰۰۳ و ۲۰۱۲ رخ داده است. در مقابل، دوره‌های ترسالی شدید در این ایستگاه در سال‌های ۱۹۸۸ و ۱۹۹۰ و ۲۰۰۷ مشاهده شده است. شرایط مشابهی در ایستگاه بندرلنگه ثبت شده است، با خشکسالی‌های شدید در سال‌های ۱۹۸۷ و ۲۰۰۳ و ۲۰۱۱ و دوره‌های ترسالی شدید در سال‌های ۱۹۹۰ و ۱۹۹۸ و ۲۰۰۶. ایستگاه‌های بوشهر و کیش نیز الگوهای مشابهی را نشان دادند، با دوره‌های ترسالی شدید در سال‌های ۱۹۹۸ و ۲۰۰۶ و خشکسالی‌ها در سال‌های ۱۹۸۷ و ۲۰۰۳ و ۲۰۱۱ قابل توجه است که سال ۱۹۹۴ برای تمام ایستگاه‌ها شرایط حدی را نشان می‌دهد، در حالی که سال ۱۹۹۰ در تمام پنج ایستگاه با ترسالی همراه بوده است. در مورد پیش‌بینی‌های آینده، نتایج نشان می‌دهد که تحت سناریوی SSP5-8.5، شدت خشکسالی در ایستگاه‌های غربی در مقایسه با ایستگاه‌های شرقی بازتر است. شاخص ۱۲ SPI نوسانات سریع‌تری را در شرایط خشکسالی نشان می‌دهد و برای ارزیابی خشکسالی‌های فصلی یا سالانه مناسب است.
نتیجه گیری: تحلیل شاخص خشکسالی بارش استانداردشده (SPI) با داده‌های مشاهداتی نشان داد که الگوهای خشکسالی در این منطقه پیچیده بوده و تحت تأثیر عوامل متعددی از جمله تغییرات در سیستم‌های جوی، الگوهای گردش اقیانوسی و فعالیت‌های انسانی قرار دارند. پیش‌بینی‌های این مطالعه حاکی از آن است که تحت سناریوی SSP5-8.5، مناطق ساحلی جنوبی ایران با افزایش قابل توجهی در شدت و فراوانی خشکسالی‌ها مواجه خواهند شد. یافته‌های این پژوهش پیامدهای مهمی برای مدیریت منابع آب و برنامه‌ریزی منطقه‌ای در جنوب ایران دارد. با توجه به پیش‌بینی افزایش شدت و فراوانی خشکسالی‌ها، اتخاذ اقدامات سازگاری مانند توسعه سیستم‌های هشدار زودهنگام خشکسالی، بهبود مدیریت منابع آب، افزایش بهره‌وری مصرف آب، تغییر الگوهای کشت، ترویج کشاورزی مقاوم به خشکی، تنویر بخشیدن به منابع اقتصادی برای کاهش و استگی به کشاورزی و افزایش آگاهی عمومی درباره خشکسالی و راهکارهای سازگاری با آن، برای کاهش اثرات منفی این پدیده ضروری است.	

استناد: علوی‌نیا، سید حسن؛ سلمان‌پور، مهدی؛ آبکار، عاطفه. تحلیل نوسانات هواشناسی و ارزیابی خشکسالی بلندمدت سواحل جنوبی ایران با رویکرد مشاهداتی و مدل‌سازی اقلیمی. مجله اکوهیدرولوژی، ۱۲(۲)، ۷۴۸-۷۳۲.

<http://doi.org/10.22059/IJE.2025.389977.1862>



مقدمه

خشکسالی یکی از پیچیده‌ترین و مخرب‌ترین پدیده‌های آب‌وهواست است که تأثیرات وسیعی بر منابع طبیعی، کشاورزی، منابع آب و اقتصاد جوامع دارد (دای،^۱ ۲۰۱۱). این پدیده در مناطق مختلف جهان بسته به شرایط اقلیمی، شدت و فراوانی منفاوتی دارد و براساس عوامل متعددی از جمله تغییرات بارش، افزایش دما، الگوهای گردش جوی تعیین می‌شود (میشرا و سینگ،^۲ ۲۰۱۰). این پدیده به عنوان یک مخاطره طبیعی، زمانی رخ می‌دهد که میزان بارندگی در یک منطقه به طور قابل توجهی کمتر از میانگین بلندمدت آن باشد، که این کاهش می‌تواند به کمبود منابع آبی، کاهش تولیدات کشاورزی، تخریب اکوسیستم‌ها و بروز مشکلات اقتصادی و اجتماعی منجر شود. با توجه به روند افزایشی تغییرات اقلیمی، فراوانی و شدت خشکسالی در بسیاری از مناطق جهان رو به افزایش است و پیش‌بینی‌های اقلیمی نشان می‌دهند که این روند در آینده نیز ادامه خواهد یافت (ترنبرت،^۳ ۲۰۱۱).

شاخص‌های متعددی توسعه یافته‌اند که هریک جنبه‌های مختلفی از خشکسالی را بررسی می‌کنند. استفاده از شاخص‌های خشکسالی می‌تواند به پایش و ارزیابی مستمر وضعیت خشکسالی منجر گردد و موجب شناسایی سریع دوره‌های خشکسالی گردد (صنیع ثالث، سلطانی و مدرس،^۴ ۱۴۰۰). همچنین این شاخص‌ها به برنامه‌ریزی و مدیریت منابع آب در دوره‌های کم‌آبی کمک خواهد کرد و باعث کاهش خسارات اقتصادی و اجتماعی توسط شناسایی موقع خشکسالی و اتخاذ تدابیر مناسب در بخش‌های کشاورزی، صنعتی و اجتماعی منجر می‌گردد. درنهایت، بیان کمی وضعیت خشکسالی به توسعه سیاست‌های سازگاری و تدوین سیاست‌ها و راهبردهای سازگاری با شرایط خشکسالی پیشرو را فراهم می‌کنند. درنهایت، انتخاب شاخص مناسب برای ارزیابی خشکسالی باید با توجه به اهداف مطالعه، دسترسی به داده‌ها و شرایط اقلیمی منطقه مورد نظر انجام شود.

تحقیقات اخیر نیز نشان می‌دهند که تغییرات اقلیمی باعث افزایش خشکسالی‌های شدیدتر و طولانی‌تر در مناطق مختلف جهان شده‌اند، به‌ویژه در مناطقی با اقلیم خشک و نیمه‌خشک (ویستته-سرانو، بگوریه، لوپز-مورنو،^۵ ۲۰۱۰) مدل‌های اقلیمی پیش‌بینی می‌کنند که این روند در دهه‌های آینده ادامه خواهد داشت و منجر به کاهش منابع آب شیرین و افزایش فشار بر اکوسیستم‌های طبیعی و انسانی خواهد شد (اسپینونی^۶ و همکاران، ۲۰۲۱). علاوه‌بر این، تغییرات در الگوهای بارش، افزایش تبخیر-تعرق و کاهش ذخیر آبی، از عوامل تشدید‌کننده خشکسالی در آینده محسوب می‌شوند (موکرجی، میشرا، ترنبرت،^۷ ۲۰۱۸). در مناطق خشک و نیمه‌خشک جهان، از جمله خاورمیانه، خشکسالی‌ها به دلیل وابستگی شدید به منابع آب سطحی و زیرزمینی، تأثیرات مخرب‌تری دارند. در برخی مناطق، مانند خاورمیانه و شمال آفریقا، شدت خشکسالی‌ها در سال‌های اخیر افزایش یافته و تأثیرات جدی بر امنیت غذایی و منابع آبی گذاشته است (توما^۸ و همکاران، ۲۰۲۱). بررسی‌های انجام‌شده در ایران نیز حاکی از افزایش روند خشکسالی و کاهش منابع آبی طی دو دهه اخیر است (میرگل، نظری و اعتدالی،^۹ ۲۰۲۱). ایران به عنوان کشوری با اقلیمی عمدتاً خشک و نیمه‌خشک، همواره با چالش‌های مربوط به خشکسالی مواجه بوده است. مطالعات متعددی نشان داده‌اند که کاهش بارندگی و افزایش تبخیر و تعرق بالقوه، سبب افزایش شدت خشکسالی در مناطق مختلف ایران شده است (مدرسی، سرحدی و برن،^{۱۰} ۲۰۱۶). بررسی داده‌های اقلیمی در نیم قرن اخیر نشان دهنده تغییرات چشمگیر در فراوانی و شدت خشکسالی در ایران است که پیامدهای گسترده‌ای برای امنیت غذایی، مدیریت منابع آب، و برنامه‌ریزی توسعه‌ای دارد (آبایی و رمضانی،^{۱۱} ۲۰۱۹). این مطالعات اهمیت پایش و پیش‌بینی خشکسالی با استفاده از مدل‌های اقلیمی را برجسته می‌کنند، چراکه می‌توانند در تدوین راهبردهای مدیریتی برای کاهش اثرات این پدیده نقش مؤثری داشته باشند (انصاری آملی، عقیقی و لوپز-باائزرا،^{۱۲} ۲۰۲۲).

1. Dai
2. Mishra&Singh
3. Trenberth
4. Vicente-Serrano, Beguería&López-Moreno
5. Spinoni
6. Mukherjee, Mishra&Trenberth
7. Touma
8. Lopez-Baeza

خشکسالی با استفاده از مدل‌های اقلیمی قابل پیش‌بینی است و این مدل‌ها ابزارهای مهمی برای مدیریت منابع آب و تدوین راهبردهای سازگاری با تعییرات اقلیمی محسوب می‌شوند. مدل‌های بزرگ‌مقیاس مانند^۱ MPI-ESM1.2-HR در کنار روش‌های کوچک‌مقیاس‌سازی مانند^۲ SDSM، امکان شیوه‌سازی شرایط آینده را فراهم می‌کنند (ولیبی^۳ و همکاران، ۱۹۹۸). در مطالعاتی که در سطح جهان انجام شده، مدل‌های اقلیمی متعددی برای ارزیابی روند خشکسالی مورد استفاده قرار گرفته‌اند. مطالعات اخیر نشان داده‌اند که استفاده از مدل‌های اقلیمی در پیش‌بینی خشکسالی می‌تواند دقیق‌تر باشد این پیش‌بینی‌ها را افزایش داده و منجر به سیاست‌گذاری‌های بهتر در مدیریت منابع آب شود (گملب^۴ و همکاران، ۲۰۲۱). برای مثال، پژوهش‌های انجام‌شده در ایالات متحده و استرالیا تأیید کردند که مدل‌های اقلیمی قادر به تشخیص الگوهای بلندمدت خشکسالی و تعییرات اقلیمی هستند و این امر می‌تواند به بهبود استراتژی‌های تطبیقی کمک کند (کوک^۵ و همکاران، ۲۰۲۰). در اروپا، تحقیقاتی مانند مطالعه اسپینونی و همکاران (۲۰۲۱) نشان داده‌اند که در آینده احتمال وقوع خشکسالی‌های شدید افزایش خواهد یافت، که این امر تأثیرات منفی بر بخش‌های کشاورزی و محیط‌زیست خواهد داشت. همچنین، نتایج تحقیقات جدید نشان می‌دهند که مدل‌های اقلیمی پیش‌رفته می‌توانند تعییرات در فراوانی و شدت خشکسالی را با دقت بیشتری مدل‌سازی کنند و در اتخاذ سیاست‌های مقابله‌ای مؤثرتر باشند (میشرا، تیوری و کومار، ۲۰۲۲). در این مطالعه سعی شده است تا وضعیت خشکسالی طی دوره مشاهداتی و پیش‌بینی اقلیم آینده تحت دو سناریو (خوش‌بینانه و بدینسانه) در مناطق ساحلی جنوب کشور محاسبه و ارزیابی گردد تا بتوان شرایط وقوع پدیده خشکسالی در آینده را مورد بررسی قرار داد. این امر می‌تواند به مدیریت خطر (و نه مدیریت بحران) منجر گردد و بتوان اقدامات کاهشی، آمادگی و سازگاری را انجام داد.

پیشینه پژوهش

در ایران مطالعات گسترده‌ای در زمینه خشکسالی و تعییرات اقلیمی انجام شده است. برای مثال، پژوهش خلیلی، کونار و فرامرزی (۲۰۲۴) نشان داد که استفاده از شاخص‌های چندمقیاسی مانند^۶ SPI و^۷ SPEI می‌تواند در تحلیل روند خشکسالی در مناطق مختلف کشور مفید باشد. همچنین، تحقیق رضوی پاشاییگ، امینی‌نیا و ٹاقبیان (۱۴۰۳) به بررسی روند خشکسالی در مناطق شمال غرب ایران پرداخته و نشان داده است که فراوانی خشکسالی در این مناطق در حال افزایش است. در مطالعه دیگری، اصفهانی، سلطانی، مدرسی (۲۰۲۲) از داده‌های ماهواره‌ای برای بررسی تأثیر تعییرات اقلیمی بر شدت خشکسالی در ایران استفاده کردند و دریافتند که دوره‌های خشکسالی در آینده شدیدتر و طولانی‌تر خواهند بود. در مطالعه‌ای دیگر فخار و نظری (۱۴۰۳) ویژگی‌های زمانی و مکانی شدت و فراوانی خشکسالی در ایران بین سال‌های ۲۰۰۱ تا ۲۰۲۱ با استفاده از شاخص‌های VCI، SPI و TCI مورد بررسی قرار دادند. نتایج نشان داد که استان‌های جنوبی کشور بین سال‌های ۲۰۰۹ تا ۲۰۲۱ خشکسالی‌های طولانی‌مدتی را تجربه کرده‌اند. مطالعات متعددی در زمینه بررسی خشکسالی در ایران و بهویژه در سواحل جنوبی کشور انجام شده است. برای مثال، محققان با استفاده از شاخص SPI به تحلیل زمانی و مکانی خشکسالی در ایران پرداختند و نشان دادند که حداکثر فراوانی وقوع خشکسالی در مقياس‌های زمانی مختلف در ایستگاه‌های مختلف کشور متفاوت است (فرج‌زاده و احمدیان، ۱۳۹۳). در مطالعه‌ای دیگر، صفریان زنگیر و زینالی (۱۳۹۸) با استفاده از شاخص‌های ترکیبی به بررسی و پیش‌بینی خشکسالی در ایران پرداختند و نشان دادند که شاخص فازی M.S.S می‌تواند طبقات خشکسالی را با دقت بالایی منعکس کند. همچنین، پژوهشی توسط آل بوعلی، قضاوی، ساداتی‌نژاد (۱۳۹۵) به بررسی اثرات خشکسالی بر منابع آب زیرزمینی در دشت کاشان با استفاده از شاخص SPI پرداخت و نشان داد که علاوه‌بر خشکسالی، بهره‌برداری بی‌رویه از منابع آب زیرزمینی عامل افت سطح آب زیرزمینی است.

1. Max Planck Institute Earth System Model higher-resolution
2. Statistical Downscaling Model
3. Wilby
4. Gamble
5. Cook
6. Mishra, Tiwari & Kumar
7. Standardized Precipitation Index
8. Standardized Precipitation Evapotranspiration Index

هدف اصلی این پژوهش، ارزیابی و تحلیل وضعیت خشکسالی در پنج ایستگاه سینوپتیک سواحل جنوبی ایران با استفاده از شاخص بارش استانداردشده (SPI) در مقیاس‌های ۱۲ ماهه و ۴۸ ماهه، طی دوره آماری گذشته ۱۹۸۵ تا ۲۰۲۳ و دوره آماری آینده ۲۰۲۳ تا ۲۰۴۳ است. در این مطالعه به محاسبه شاخص SPI با استفاده از داده‌های مشاهداتی، برآورد تغییرات بارش با استفاده از مدل‌های گردش عمومی جو و سناریوهای انتشار گزارش ارزیابی ششم (SSP1-2.6) و (SSP5-8.5) بدینانه (SSP1-2.6) و همچنین محاسبه شاخص SPI براساس داده‌های پیش‌بینی شده برای دوره‌های آتی می‌باشد تا امکان ارائه تصویری جامع از وضعیت گذشته و آینده خشکسالی در منطقه را فراهم سازد. این مطالعه علاوه بر اینکه در دو مقیاس کوتاه‌مدت و بلندمدت (که مقیاس بلندمدت بر سطح آب زیرزمینی نیز بسیار تأثیرگذار است و می‌توان در مطالعات آتی شاخص‌های خشکسالی آب زیرزمینی را نیز بررسی نمود) متمرکز شده است، و وضعیت خشکسالی را طی دوره آینده، براساس مدل‌های گردش عمومی جو ارزیابی می‌کند و نه براساس روش‌های آماری، تأثیر توده‌های جو را نیز در نظر گرفته است.

روش‌شناسی پژوهش

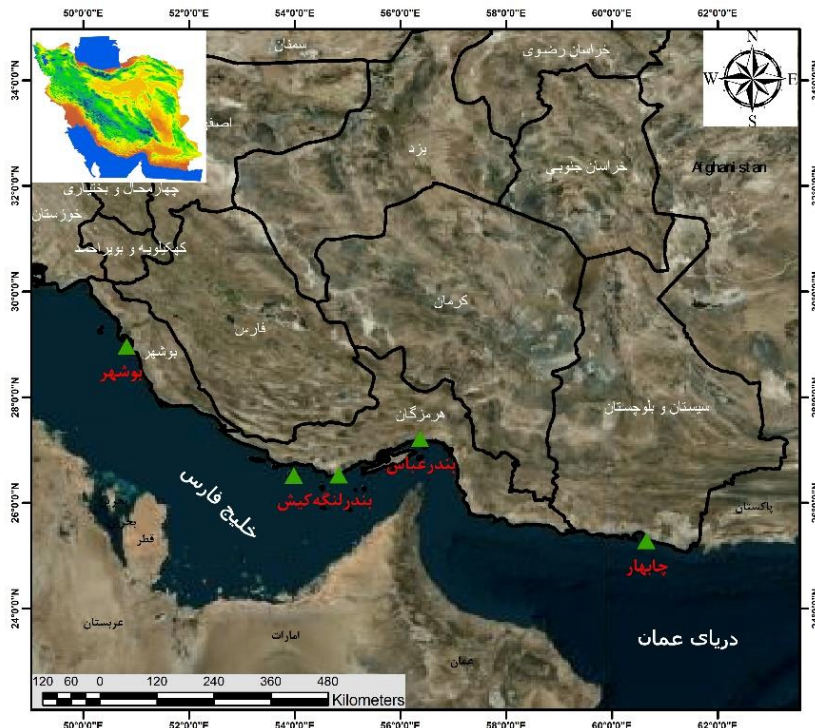
منطقه مطالعاتی

منطقه جنوبی ایران در حاشیه خلیج فارس و دریای عمان واقع شده است و شامل استان‌های خوزستان، بوشهر، هرمزگان و سیستان و بلوچستان می‌شود. این منطقه دارای آب‌وهوای گرم و خشک با تابستان‌های بسیار گرم و زمستان‌های معبد است. میانگین بارش سالانه در این منطقه حدود ۲۰۰ میلی‌متر است (سازمان هواشناسی کشور، ۱۳۹۹).

در این مطالعه، ۵ ایستگاه سینوپتیک بندرعباس، بندر لنگه، بوشهر، چابهار و کیش در منطقه جنوبی انتخاب شدند. این ایستگاه‌ها به‌طور یکنواخت در طول ساحل خلیج فارس و دریای عمان توزیع شده‌اند و نماینده آب‌وهوای این منطقه هستند (جدول ۱ و شکل ۱).

جدول ۱. موقعیت جغرافیایی ایستگاه‌های سینوپتیک مورد مطالعه

ایستگاه	طول جغرافیایی (E°)	عرض جغرافیایی (N°)	ارتفاع از سطح دریا (m)	بارش میانگین سالانه (mm)	دماهی میانگین سالانه (C°)
بندرعباس	۵۶° ۲۳' E	۲۷° ۱۳' N	۱۰	۱۷۶	۲۷/۵
بندر لنگه	۵۴° ۴۹' E	۲۶° ۳۳' N	۶	۱۵۴/۷	۲۶/۵
بوشهر	۵۰° ۵۰' E	۲۸° ۵۹' N	۱۸	۲۶۸	۲۵/۷
چابهار	۶۰° ۳۸' E	۲۵° ۱۷' N	۶	۱۱۰/۳	۲۶/۴
کیش	۵۳° ۵۸' E	۲۶° ۳۲' N	۳۱	۱۴۵	۲۶/۶



شکل ۱. موقعیت جغرافیایی ایستگاه‌های مورد مطالعه در ایران

این ایستگاه‌ها با اقلیم خشک و نیمه‌خشک، بیشترین تأثیر را از تغییرات اقلیمی، بهویژه تغییرات بارندگی و خشکسالی می‌پذیرند. سواحل جنوبی کشور از جمله مناطقی هستند که تحت تأثیر پدیده‌های دور پیوندی نظیر ال‌نینو-نوسان جنوبی (ENSO) نیز قرار می‌گیرند (علیزاده‌چوباری و نجفی، ۲۰۱۸). توده‌های هوایی مؤثر بر سواحل جنوبی ایران (خليج فارس و دریای عمان) شامل توده هوای گرم و خشک است که این توده هوایی از سمت شبه‌جزیره عربستان وارد ایران می‌شود و ماهیت آن گرم و خشک است و در فصل تابستان، باعث افزایش شدید دما و کاهش رطوبت در سواحل جنوبی می‌شود. به علاوه توده هوایی موسمی (مانسون هند) است که این توده هوایی از سمت اقیانوس هند و دریای عمان وارد ایران می‌شود و ماهیت آن مرطوب است و در فصل تابستان، باعث بارش‌های موسمی در سواحل جنوبی، بهویژه در جنوب شرق ایران می‌شود. توده هوایی دیگر این بخش از ایران توده هوای سودانی است که در شمال شرق آفریقا تشکیل می‌شود و از جنوب غرب وارد ایران می‌شود. این توده‌های هوایی، نقش مهمی در تعیین میزان دما، رطوبت و بارش در سواحل جنوب ایران دارند. شایان ذکر است که تفاوت در توده‌های هوایی مؤثر بر این سواحل، باعث ایجاد اقلیم‌های متنوع در این مناطق شده است. البته از این نکته نباید غافل شد که عوامل دیگری نیز بر آب و هوای ایران تأثیر دارند که از جمله آن‌ها می‌توان به موقعیت و عرض جغرافیایی، دوری و نزدیکی به دریاها، ارتفاعات این مناطق و همچنین جریان‌های جوی شامل جت استریم، ال نینو و... اشاره کرد.

داده‌های مورد استفاده

داده‌های مشاهداتی

برای تحلیل خشکسالی تاریخی، داده‌های بارش ماهانه از سال ۱۹۸۵ تا ۲۰۲۳ برای هر ایستگاه سینوپتیک از سازمان هواشناسی کشور اخذ شد. این داده‌ها ابتدا از نظر کیفیت بررسی شده و موارد مشکوک یا گمشده با استفاده از روش‌های آماری (مانند میانگین وزنی ایستگاه‌های مجاور) بازسازی شدند.

داده‌های مدل‌های اقلیمی

همچنین خروجی‌های مدل اقلیمی گردش عمومی جو (GCM) تحت گزارش ششم ارزیابی (AR6) برای پیش‌بینی تغییرات بارش در دوره ۲۰۲۳–۲۰۴۳ استفاده گردید. پروژه^۶ CMIP^۷ ۶، به عنوان جدیدترین فاز از پروژه‌های مقایسه مدل‌های اقلیمی، مجموعه‌ای از مدل‌های پیشرفت‌های اقلیمی را ارائه می‌دهد که توانایی بالایی در شبیه‌سازی فرایندهای پیچیده اقلیمی دارند (آبرینگ^۸ و همکاران، ۲۰۱۶) مدل MPI-ESM1.2-HR، یکی از مدل‌های پیشرفت‌های شرکت‌کننده در پروژه CMIP6 است که توسط مؤسسه ماسکس پلانک آلمان توسعه یافته است. این مدل، با دقت بالا، الگوهای بارش و دما را در مقیاس جهانی شبیه‌سازی می‌کند (موریستن^۹ و همکاران، ۲۰۱۹). در این مطالعه از دو سناریوی SSP1-2.6 و SSP5-8.5 استفاده شد. سناریوهای^{۱۰} به عنوان سناریوهای جدید پروژه CMIP6، مسیرهای توسعه اجتماعی-اقتصادی آینده را توصیف می‌کنند و تأثیر آن‌ها بر تغییرات اقلیمی را بررسی می‌کنند (اوینل^{۱۱} و همکاران، ۲۰۱۶).

سناریوی SSP1-2.6، یک سناریوی خوش‌بینانه است که در آن، جامعه جهانی به سمت توسعه پایدار و کاهش انتشار گازهای گلخانه‌ای حرکت می‌کند. در این سناریو، افزایش دمای جهانی به حدود ۱/۵ درجه سانتی‌گراد محدود می‌شود (ریاحی و همکاران، ۲۰۱۷). سناریوی SSP5-8.5 بدینانه است که در آن، انتشار گازهای گلخانه‌ای به شدت افزایش می‌یابد و افزایش دمای جهانی به بیش از ۴ درجه سانتی‌گراد می‌رسد (ریاحی و همکاران، ۲۰۱۷). استفاده از سناریوهای SSP1-2.6 و SSP5-8.5، امکان بررسی طیف وسیعی از تغییرات اقلیمی آینده را فراهم می‌کند و به تصمیم‌گیران کمک می‌کند تا برنامه‌های سازگاری با تغییرات اقلیمی را تدوین کنند. استفاده از خروجی‌های مدل‌های CMIP6، به دلیل دقت بالا و قابلیت اطمینان آن‌ها، در مطالعات تغییرات اقلیمی در مقیاس منطقه‌ای، امری ضروری است. مدل‌های CMIP6، با شبیه‌سازی دقیق فرایندهای اقلیمی، اطلاعات ارزشمندی را در مورد تغییرات بارش، دما و سایر متغیرهای اقلیمی ارائه می‌دهند.

خروجی مدل‌های CMIP6 از پortal‌های داده‌ای بین‌المللی-<https://climate-scenarios.canada.ca/?page=pred> استخراج شد. سه مدل از میان مدل‌های CMIP6 با دقت بالا و عملکرد مناسب در منطقه ایران وجود دارد که شامل cmip6 ACCESS-ESM1.5 و CNRM-CM6.1 هستند (المزروعی و همکاران، a2۰۲۰) که در این پژوهش از مدل توسعه یافته توسط مؤسسه ماسکس پلانک آلمان (MPI-ESM1.2-HR) استفاده گردید. برای کوچک‌مقیاس‌سازی خروجی‌های مدل MPI-ESM1.2-HR، از روش آماری SDSM استفاده شد. این روش براساس روابط آماری بین متغیرهای بزرگ‌مقیاس و متغیرهای محلی، خروجی‌های مدل را به مقیاس ایستگاههای سینوپتیک تبدیل می‌کند.

در ادامه برای پایش خشکسالی، شاخص SPI در دو مقیاس ۱۲ و ۴۸ ماهه برای داده‌های مشاهداتی و همچنین داده‌های پیش‌بینی شده توسط بسته SPI در نرم‌افزار R محاسبه شدند. برای تحلیل وضعیت خشکسالی، از شاخص بارش استاندارد شده (SPI) که توسط مک‌کی^{۱۱} و همکاران (۱۹۹۳) معرفی شده است، استفاده شد. SPI یک شاخص غیرمستقیم و آماری است که امکان مقایسه بین مناطق مختلف را فراهم می‌کند. شاخص SPI، یک شاخص هواشناسی است که برای تعیین کمبود یا مازاد بارش در مقیاس‌های زمانی مختلف استفاده می‌شود. این شاخص، انحراف بارش از میانگین بلندمدت را به صورت استاندارد نشان می‌دهد. SPI به دلیل انعطاف‌پذیری در مقیاس‌های زمانی، برای پایش انواع خشکسالی (هواشناسی، کشاورزی، هیدرولوژیکی) کاربرد دارد (لوید-هیوز و ساندرز،^{۱۲} ۲۰۰۲). این شاخص از طریق برآش توزیع گاما^۹ بر داده‌های بارش محاسبه شده و سپس به توزیع نرمال استاندارد تبدیل می‌شود. این شاخص تنها بر پایه داده‌های بارش بنا شده و با استانداردسازی بارش، امکان مقایسه شرایط خشکسالی

1. Assessment Report
2. Coupled Model Intercomparison Project
3. Eyring
4. Mauritsen
5. Shared Socioeconomic Pathways
6. O'Neill
7. McKee
8. Lloyd-Hughes&Saunders
9. Gamma distribution

در مناطق و دوره‌های مختلف را فراهم می‌سازد (مک‌کی، دویسکن و کلایس، ۱۹۹۳؛ سازمان جهانی هواشناسی، ۲۰۱۲). برای استانداردسازی داده‌های بارش، ابتدا لازم است داده‌های تجمعی بارش در هر مقیاس زمانی به یک توزیع احتمال مناسب برازش داده شوند. طبق توصیه سازمان جهانی هواشناسی، توزیع گاما بهدلیل داشتن مقادیر غیرمنفی و انعطاف‌پذیری بالا برای مدل‌سازی بارش انتخاب می‌شود.تابع چگالی احتمال توزیع گاما به صورت زیر تعریف می‌شود:

$$f(x; \alpha, \beta) = \frac{x^{\alpha-1} e^{-\frac{x}{\beta}}}{\beta^\alpha \Gamma(\alpha)} \quad \text{for } x > 0 \quad (\text{رابطه ۱})$$

که در آن α پارامتر شکل، β پارامتر مقیاس^۲ و $(\alpha)\Gamma$ تابع گاماست. برای برآورد این پارامترها از روش حداقل درستنمایی^۳ استفاده می‌شود. پس از برازش تابع گاما، تابع توزیع تجمعی (CDF) آن برای هر مقدار بارش محاسبه می‌شود. اگر داده‌های بارش شامل مقادیر صفر نیز باشند (که در برخی مناطق خشک رایج است)، احتمال وقوع صفر با استفاده از فراوانی نسبی مقادیر صفر لحظه می‌شود:

$$H(x) = q + (1 - G(x)) \quad (\text{رابطه ۲})$$

که در آن q نسبت دفعات وقوع بارش صفر و $G(x)$ تابع توزیع تجمعی گاماست. در مرحله آخر، مقادیر حاصل از تابع تجمعی به مقادیر توزیع نرمال استاندارد (میانگین صفر و انحراف معیار یک) تبدیل می‌شوند. این تبدیل به وسیله تابع معکوس نرمال استاندارد (Z) انجام می‌شود:

$$SPI = (H(x))\Phi^{-1} \quad (\text{۳})$$

که در آن Φ^{-1} تابع معکوس توزیع نرمال استاندارد است و SPI مقدار نهایی شاخص بارش استاندارد شده می‌باشد. مقادیر نهایی SPI در محدوده‌های خاصی تفسیر می‌شوند که نشان‌دهنده شدت و نوع شرایط خشکسالی یا ترسالی هستند. این طبقه‌بندی در جدول ۲ نشان داده شده است.

جدول ۲. مقادیر شاخص بارش استاندارد شده (SPI) و وضعیت خشکسالی متاظر آن‌ها

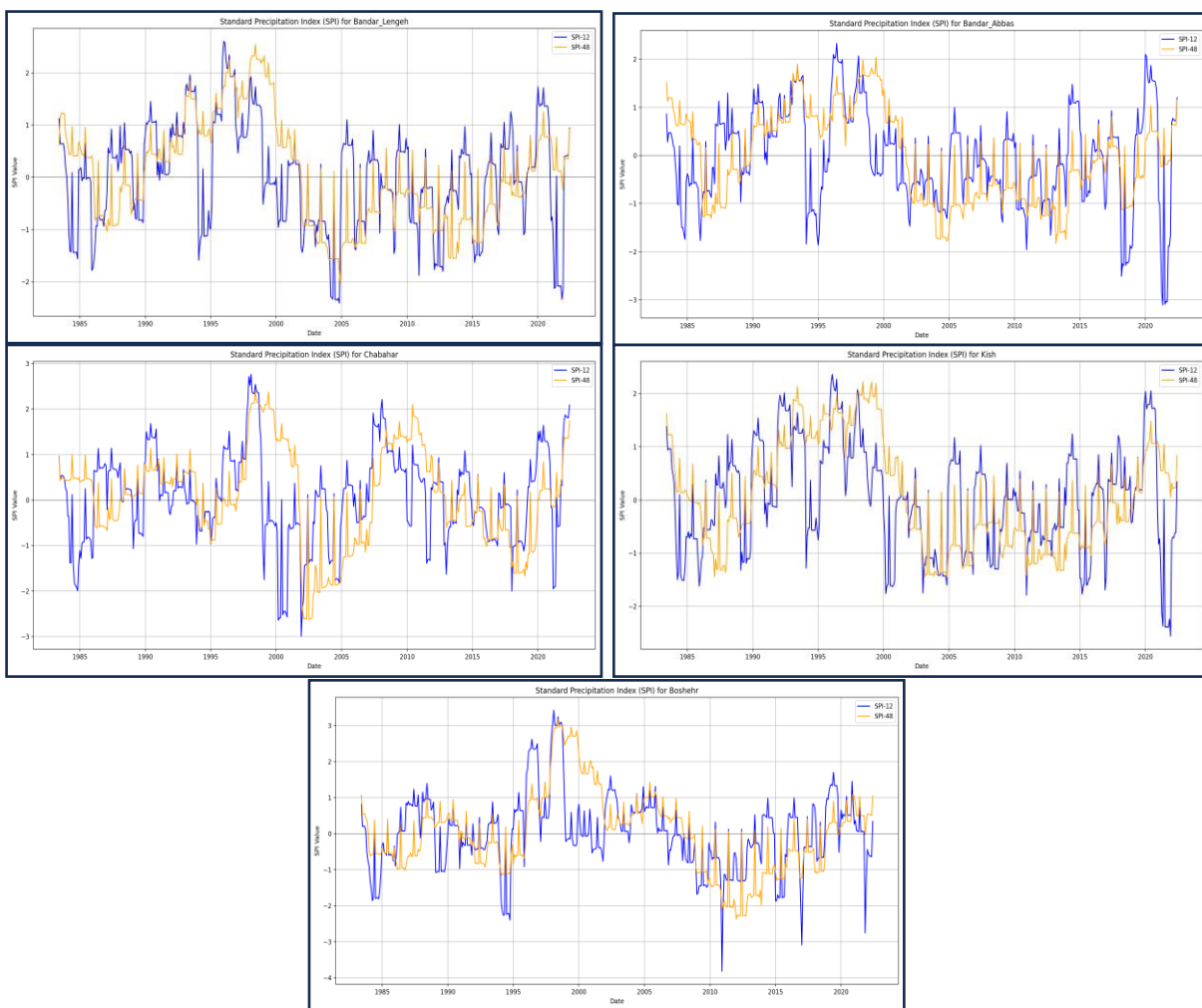
مقدار	وضعیت اقلیمی
بیشتر از ۲	ترسالی بسیار شدید
۱/۹۹ تا ۱/۵	ترسالی شدید
۱/۴۹ تا ۱/۰	ترسالی متوسط
۰/۹۹ - ۰/۹۹ تا -۰/۹۹	شرایط نرمال
-۱/۴۹ تا -۱/۰	خشکسالی متوسط
-۱/۹۹ تا -۱/۵	خشکسالی شدید
-۲	خشکسالی بسیار شدید

در این مطالعه از نرم‌افزار R برای محاسبه شاخص SPI استفاده شد و برای بررسی دقیق مدل برازش و محاسبه SPI، از آزمون‌های آماری مانند آزمون کولموگروف- اسمیرنوف^۴ و آزمون شاپیرو-ویلک^۵ برای ارزیابی نرمال بودن توزیع استفاده گردید. همچنین، روندهای زمانی نتایج SPI با وقایع تاریخی خشکسالی مقایسه گردید تا اعتبار نتایج تقویت گردد.

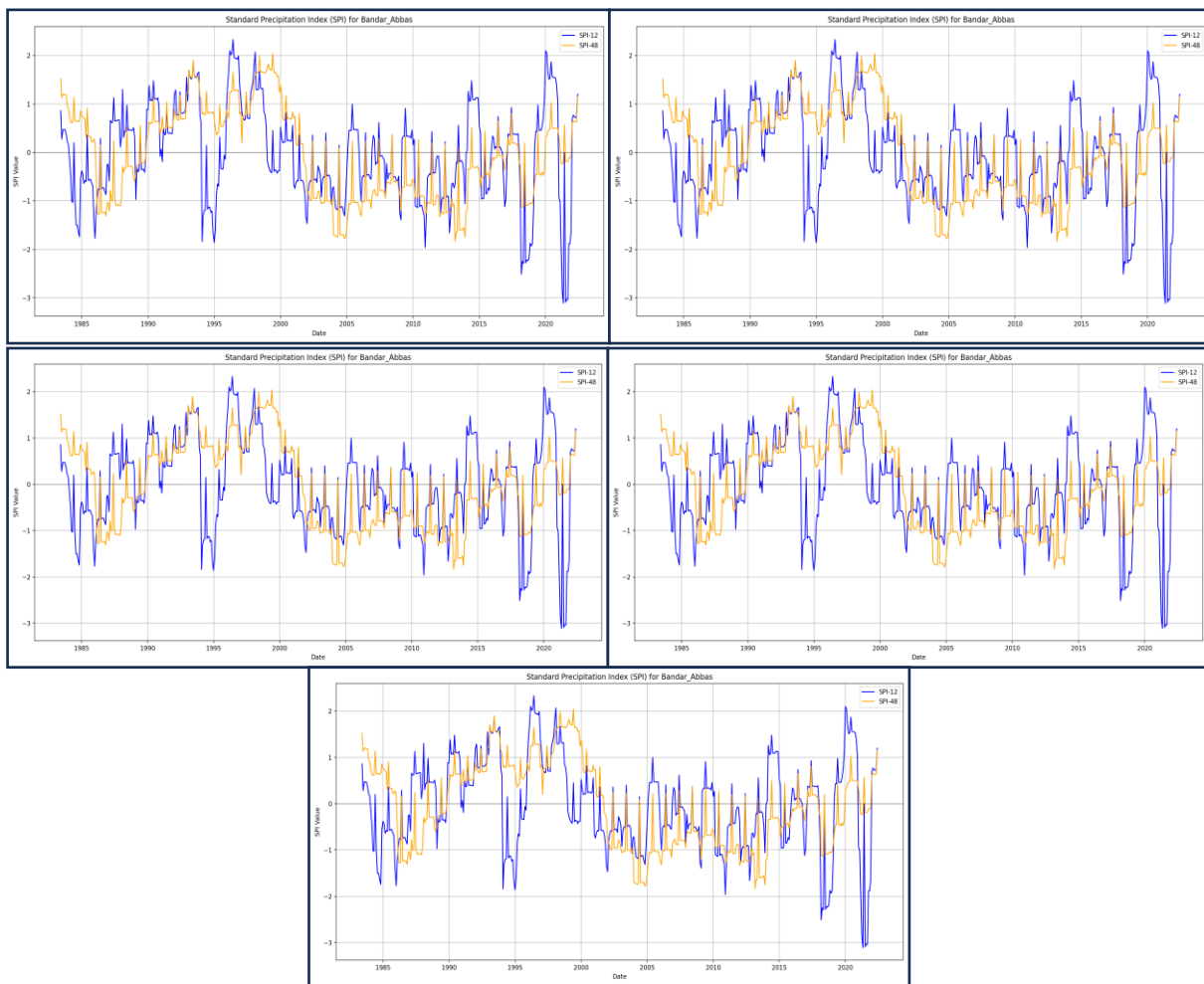
1. Shape parameter
2. Scale parameter
3. Maximum Likelihood Estimation
4. Cumulative distribution function
5. Kolmogorov-Smirnov test
6. Shapiro-Wilk test

نتایج

در این مطالعه، داده‌های شاخص خشکسالی استانداردشده بارش (SPI) برای پنج ایستگاه سینوپتیک در سواحل جنوبی ایران (بندرعباس، بندرلنگه، بوشهر، چابهار و کیش) در دو مقیاس زمانی ۱۲ ماهه (کوتاهمدت) و ۴۸ ماهه (بلندمدت) مورد بررسی قرار گرفته‌اند. در مرحله ابتدایی مقادیر برای داده‌های مشاهداتی (۱۹۸۵-۲۰۲۱) محاسبه (شکل ۲) و در مراحل بعدی شاخص خشکسالی بارش استانداردشده برای بارش آینده تحت دو سناریوی خوش‌بینانه (SSP1-2.6) و بدینانه (SSP5-8.5) برای دوره آینده (۲۰۲۳-۲۰۴۳) محاسبه شد (شکل ۳). هدف از این تحلیل، شناسایی روندهای خشکسالی و ترسالی و مقایسه نتایج در دو مقیاس زمانی است. این منطقه به‌دلیل موقعیت جغرافیایی ویژه، تحت تأثیر توده‌های هوایی متوجه توده‌های هوای مرطوب اقیانوس هند، جریان‌های خشک عربستان و نوسانات اقلیمی بزرگ‌مقیاس مانند النینو-نوسان جنوبی (ENSO) قرار دارد. نتایج به‌دست‌آمده نه تنها درک بیشتری از الگوهای خشکسالی در این منطقه حساس ارائه می‌دهد، بلکه بینش‌هایی برای برنامه‌ریزی‌های مدیریت منابع آب و سازگاری با تغییرات اقلیمی فراهم می‌کند.



شکل ۲. شاخص بارش استانداردشده در دو مقیاس ۱۲ و ۴۸ ماهه برای داده‌های تاریخی



شکل ۳. شاخص بارش استاندارد شده در دو مقیاس ۱۲ و ۴۸ ماهه برای داده‌های پیش‌بینی شده

روند کلی دوره‌های خشکسالی و ترسالی نشان می‌دهد که در ایستگاه بندرعباس طی سال‌های ۱۹۹۴، ۲۰۰۰ و ۲۰۱۲ و قایع خشکسالی شدیدی رخ داده است. در مقابل، در سال‌های ۱۹۸۸، ۱۹۹۰ و ۲۰۰۷ در این ایستگاه ترسالی شدید رخ داده است. این شرایط در ایستگاه بندرلنگه در سال‌های ۱۹۸۷، ۲۰۰۳ و ۲۰۱۱ (خشکسالی شدید) و سال‌های ۱۹۹۰، ۱۹۹۸ و ۲۰۰۶ (ترسالی شدید) رخ داده است. دو ایستگاه بوشهر و کیش شرایط مشابهی دارند و ترسالی‌های شدید در سال‌های ۱۹۹۰، ۱۹۹۸ و ۲۰۰۶ و خشکسالی‌ها در سال‌های ۱۹۸۷، ۲۰۱۱ و ۲۰۰۳ و ۲۰۱۲ اتفاق افتاده است. ایستگاه چابهار نیز که در شرقی‌ترین بخش منطقه مطالعاتی واقع شده، دارای خشکسالی شدید طی سال‌های ۱۹۹۴، ۲۰۰۰ و ۲۰۱۲ و ترسالی شدید در سال‌های ۱۹۸۸، ۱۹۹۰ و ۲۰۰۷ است. شایان ذکر است که سال ۱۹۹۴ برای تمامی ایستگاه‌ها شرایط و خیمی رخ داد و البته در مقابل در سال ۱۹۹۰ هر پنج ایستگاه دچار ترسالی شده بودند. همچنین باید به این نکته توجه کرد که قریب به اتفاق خشکسالی‌ها در فصل تابستان و ترسالی‌ها در فصل زمستان رخ داده است. دو ایستگاه بندرعباس و چابهار از الگوی مشابهی پیروی می‌کنند که دلیل اصلی آن تأثیر پذیرفتن از توده هوای یکسان است. مشاهدات نشان می‌دهد که بندر لنگه و کیش نیز از الگوی یکسانی پیروی می‌کنند که می‌تواند دلیل اصلی آن واقع شدن در یک عرض جغرافیایی باشد.

تحلیل روندهای خشکسالی در مقیاس‌های زمانی مختلف داده‌های تاریخی

مقیاس ۱۲ ماهه (SPI-12)

شاخص خشکسالی بارش استاندارد شده در مقیاس کوتاه‌مدت (۱۲ ماهه) نوسانات فصلی و سالانه خشکسالی را نشان می‌دهد. در تمامی ایستگاه‌ها، دوره‌های خشکسالی شدید با فراوانی قابل توجهی مشاهده می‌گردد. برای مثال، در بندرعباس، خشکسالی شدید

در سالهای ۱۹۸۴، ۱۹۹۴، و ۲۰۱۶ ثبت شده که همزمان با تشدید فعالیت توده‌های هوای خشک عربستان و کاهش نفوذ رطوبت از دریای عمان بوده است. در مقابل، سال‌های ۱۹۹۶ و ۲۰۲۰ با ترسالی‌های چشمگیر همراه بودند که احتمالاً تحت تأثیر تقویت جریان‌های مرتبط مونسون تابستانه قرار داشتند. نکته قابل توجه، افزایش فراوانی خشکسالی‌های متوسط تا شدید در دو دهه اخیر (۲۰۰۰-۲۰۲۲) در تمامی ایستگاه‌هاست. این روند با مطالعات پیشین در منطقه خلیج فارس که نشان‌دهنده کاهش بارش سالانه و افزایش دماست، همسو است. برای مثال، در بوشهر SPI ۱۲ ماهه در سال ۲۰۲۱ به مقدار ۰.۷۶ رسید که بیانگر خشکسالی استثنایی در این منطقه است. این پدیده می‌تواند با گسترش پرفشار جنوب حاره‌ای عربستان و کاهش انتقال رطوبت به سواحل ایران مرتبط باشد.

(SPI-48)

این شاخص خشکسالی در مقیاس بلندمدت (SPI ۴۸ ماهه) نشان‌دهنده روندهای اقلیمی پایدارتر و تأثیرپذیر از نوسانات چندساله است. در این مقیاس، خشکسالی‌های طولانی‌مدت در دهه ۱۹۹۰ و اوایل ۲۰۰۰ در تمامی ایستگاه‌ها مشهود است. برای نمونه، در چابهار SPI ۴۸ ماهه بین سال‌های ۱۹۹۸ تا ۲۰۰۲ به طور مداوم کمتر از ۱- باقی ماند، که احتمالاً تحت تأثیر فاز منفی نوسان اطلس شمالی (NAO) و تضعیف مونسون هندوستان رخ داده است.

تفاوت کلیدی بین مقیاس‌های ۱۲ و ۴۸ ماهه در ایستگاه کیش مشاهده شد. در حالی که SPI ۱۲ ماهه نوسانات شدید فصلی را نشان می‌دهد، SPI ۴۸ ماهه روند کاهشی ملایم، اما پیوسته‌ای را از سال ۲۰۰۰ تاکنون آشکار می‌کند. این امر حاکی از آن است که تغییرات بارش در این جزیره تحت تأثیر عوامل بزرگ مقیاس اقلیمی (مانند گرمایش جهانی و تغییر الگوهای اقیانوسی) قرار دارد که اثرات تجمعی آن‌ها در مقیاس‌های بلندمدت آشکار می‌شود. در رابطه با تفاوت‌های منطقه‌ای و تأثیر توده‌های هوایی باید بیان کرد که دو ایستگاه بندرعباس و بندر لنگه که در مجاورت تنگه هرمز واقع شده‌اند، بیشترین حساسیت را به نوسانات مونسون هندوستان نشان می‌دهند. خشکسالی‌های شدید در این مناطق اغلب با فازهای مثبت النینو (El Niño) همزمان است که باعث کاهش انتقال رطوبت از اقیانوس هند به سواحل ایران می‌گردد. از سوی دیگر، ترسالی‌های قبل توجه (مانند SPI با مقدار ۰.۳۲ در بندرلنگه در سال ۱۹۹۶) با فازهای منفی النینو (La Niña) و تقویت جریان‌های مرتبط است. ایستگاه چابهار که در نزدیکی مرز پاکستان قرار دارد، تحت تأثیر مستقیم مونسون تابستانه هندوستان است. داده‌های SPI ۴۸ ماهه نشان می‌دهد که خشکسالی‌های طولانی‌مدت در چابهار (مانند دوره ۱۹۹۸-۲۰۰۲) با ضعف سامانه مونسون و افزایش فراوانی پدیده «مونسون شکست‌خورد» مرتبط است. این یافته با پژوهش‌های اخیر در مورد کاهش بارش مونسونی در جنوب آسیا هم‌خوانی دارد. الگوی خشکسالی در بوشهر تفاوت قابل توجهی با سایر ایستگاه‌ها نشان داد. خشکسالی‌های شدید در این منطقه (مانند SPI با مقدار ۰.۸۲-۰.۱۰ در سال ۲۰۱۰) نه تنها با کاهش بارش، بلکه با افزایش تبخیر و تعرق ناشی از گرمایش شدید هوا (با منشأ توده‌های هوای گرم عربستان) مرتبط است. این مسئله نشان‌دهنده تأثیر ترکیبی تغییرات بارش و دما بر تشدید خشکسالی در مناطق نیمه‌خشک است. با این حال جزیره کیش به دلیل موقعیت دور از ساحل، نوسانات بارشی کمتری را تجربه می‌کند، اما داده‌های SPI ۴۸ ماهه بر روی کاهش پیوسته ذخیره آب زیرزمینی تأثیر می‌گذارد. این امر احتمالاً ناشی از برداشت بیش از حد منابع آب و کاهش تعذیب سفره‌ها در دوره‌های خشکسالی تشدید می‌گردد. نتایج این مطالعه همسو با شواهد جهانی در مورد تشدید خشکسالی‌ها در مناطق خشک و نیمه‌خشک تحت تأثیر تغییرات اقلیمی است. افزایش غلظت گازهای گلخانه‌ای و گرمایش جهانی منجر به تقویت پرفشار جنوب حاره‌ای عربستان شده است که مانع نفوذ سامانه‌های بارشی به سواحل جنوبی ایران می‌شود. همچنین، تغییر الگوهای ENSO و نوسان مادان-جویلان^۱ (MJO) ممکن است بر تناوب و شدت خشکسالی‌ها در این منطقه تأثیر گذاشته باشد. بررسی همبستگی SPI و شاخص‌های اقلیمی بزرگ‌مقیاس (مانند شاخص نوسان جنوبی (SOI) و شاخص فشار سطح دریای عربستان) می‌تواند در پژوهش‌های آینده برای پیش‌بینی خشکسالی‌ها مورد توجه قرار گیرد.

1. Madden-Julian oscillation
2. Southern Oscillation Index

نتایج شاخص خشکسالی بارش استاندارد شده برای دوره آتی تحت سناریوهای انتشار

در ادامه، شاخص خشکسالی بارش استاندارد شده در دو مقیاس ۱۲ و ۴۸ ماهه برای بارش‌های پیش‌بینی شده تحت دو سناریوهای تغییر اقلیم SSP1-2.6 (خوش‌بینانه) و SSP5-8.5 (بدیننانه) محاسبه گردید، تا هم نوسانات کوتاه‌مدت و هم روندهای بلندمدت خشکسالی در دوره آینده (۲۰۳۳ تا ۲۰۴۳) تحلیل شود. نتایج نشان‌دهنده تغییرات معنادار در الگوهای خشکسالی تحت تأثیر گرماشیجهانی است که در ادامه به تفصیل بررسی می‌شوند.

در رابطه با پارامتر اختلاف مکانی بین ایستگاه‌های مورد مطالعه به‌دلیل موقعیت جغرافیایی متفاوت (از خلیج فارس تا دریای عمان)، آن‌ها تحت تأثیر توده‌های هوایی متنوعی قرار دارند. برای مثال، بندرعباس و بندرلنگه تحت تأثیر جریان‌های مرطوب اقیانوس هند و چرخندهای حاره‌ای قرار می‌گیرند، درحالی که چابهار به‌دلیل مجاورت با دریای عمان، نوسانات بارشی متفاوتی را تجربه می‌کند. نتایج نشان داد که شدت خشکسالی در ایستگاه‌های غربی (بوشهر و بندرلنگه) تحت سناریوی SSP5-8.5 نسبت به ایستگاه‌های شرقی (چابهار و کیش) بیشتر است. این امر احتمالاً به‌دلیل کاهش فعالیت سامانه‌های بارشی غرب آسیا و تقویت پرفشار جنوب حاره‌ای در منطقه خلیج فارس است که در مطالعات پیشین نیز به آن اشاره شده است (علیزاده چوباری و نجفی، ۲۰۱۸). مقیاس ۱۲ ماهه SPI نوسانات سریع‌تر خشکسالی را نشان می‌دهد و برای ارزیابی خشکسالی‌های فصلی یا سالانه مناسب است. در سناریوی SSP5-8.5، فراوانی خشکسالی‌های شدید در بازه ۲۰۴۰-۲۰۳۰ به‌طور چشمگیری افزایش یافت. برای مثال، در بندرعباس، سال‌های ۲۰۳۲، ۲۰۳۵، و ۲۰۴۰ مقادیر شاخص خشکسالی بارش استاندارد شده با مقادیر کمتر از ۲- ثبت شدند که نشان‌دهنده خشکسالی‌های بسیار شدید است. در مقیاس ۴۸ ماهه که به‌عنوان شاخصی بلندمدت در نظر گرفته می‌شود، در هر دو سناریو، روند کاهشی از سال ۲۰۳۵ به بعد مشهود است، اما در SSP5-8.5، کاهشی تا ۳۰ درصد شدیدتر را نشان می‌دهد. این امر نشان می‌دهد که حتی در صورت بهبود موقت بارش‌ها (مثلاً در SPI ۱۲ ماهه)، کمبود بارش تجمعی در بلندمدت می‌تواند منابع آب زیرزمینی و اکوسیستم‌ها را به‌شدت تحت تأثیر قرار دهد.

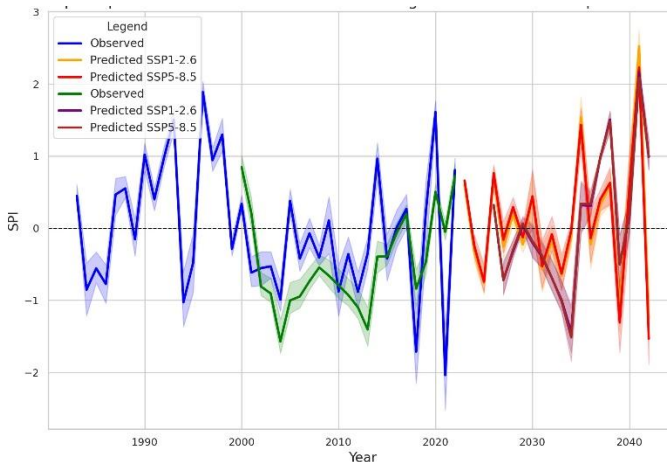
مکانیزم‌های اقلیمی مؤثر بر خشکسالی تأثیر تغییر الگوهای گردش جوی

مدل MPI-ESM1.2-HR نشان می‌دهد که تحت سناریوی SSP5-8.5 تقویت پدیده ENSO و تغییر در مسیر جت‌استریم‌های عرض میانی، منجر به کاهش بارش در منطقه می‌شود. این تغییرات با مطالعات جهانی (بوتاآو و جین،^۱ ۲۰۲۱) همسو است که پیش‌بینی می‌کنند مناطق نیمه‌خشک مانند جنوب ایران، کاهش ۱۰ تا ۲۰ درصدی بارش را تا پایان قرن تجربه خواهند کرد. با توجه به این مهم که تحت سناریوی SSP5-8.5 افزایش دما را نیز خواهیم داشت، تبخیر از سطح خاک و آبهای سطحی نیز تشید می‌شود. این پدیده حتی در صورت ثابت ماندن بارش‌ها، منجر به کاهش دسترسی به آب می‌گردد. داده‌های SPI ۴۸ ماهه نشان می‌دهد که به‌عنوان نمونه در بوشهر، SPI از ۱.۲ در ۲۰۲۵ به ۱/۸ در ۲۰۴۰ کاهش یافته است که نشان‌دهنده ترکیب کاهش بارش و افزایش تبخیر است. اگرچه این مطالعه مستقیماً به تأثیرات انسانی نپرداخته است، نتایج به‌دست‌آمده هشداردهنده هستند. برای نمونه، در چابهار که توسعه کشاورزی و صنعتی سریع‌تری دارد، کاهش SPI در سناریوی SSP5-8.5 نسبت به SSP1-2.6 بسیار محسوس‌تر است. این امر احتمالاً به‌دلیل افزایش تقاضای آب و کاهش ذخایر زیرزمینی تشید می‌شود.

مقایسه سناریوهای خوش‌بینانه و بدیننانه

این مطالعه نشان می‌دهد تحت سناریوی خوش‌بینانه، خشکسالی‌های شدید عمدتاً در بازه‌های کوتاه مدت رخ می‌دهند و پس از سال ۲۰۴۰، روند بهبود نسبی مشاهده می‌گردد. در مقیاس ۴۸ ماهه، SPI در چابهار و کیش پس از ۲۰۳۵ به مقادیر نزدیک به نرمال (۰-۰/۵-) باز می‌گردد که نشان‌دهنده تأثیر مثبت کاهش انتشار گازها بر ثبات بارش است. ازسوی دیگر تحت سناریوی بدیننانه، خشکسالی‌های بسیار شدید از سال ۲۰۳۰ به بعد به‌طور مکرر رخ می‌دهند. برای مثال، در بندرلنگه، ۷ سال بین ۲۰۴۵ تا ۲۰۳۵ دارای SPI ۱۲ ماهه کمتر از ۲- هستند. در مقیاس ۴۸ ماهه، SPI در تمام ایستگاه‌ها تا سال ۲۰۵۰ به مقادیر کمتر از ۱/۵- می‌رسد

که نشان دهنده خشکسالی ساختاری (علاوه بر عوامل طبیعی، تحت تأثیر مدیریت و سیاست‌های نادرست انسان‌ها نیز می‌باشد) و غیرقابل بازگشت است. تحلیل داده‌ها نشان می‌دهد که سال ۲۰۳۵ ممکن است نقطه عطفی بحرانی^۱ باشد که پس از آن، حتی تحت سناریوی SSP1-2.6 نیز بهبود وضعیت بارش‌ها کند می‌شود (شکل ۴).



شکل ۴. مقایسه SPI داده‌های تاریخی با پیش‌بینی شده در منطقه تحت دو سناریوی خوش‌بینانه و بدینانه

این موضوع احتمالاً به دلیل ذوب یخچال‌های هیمالیا و تغییر الگوهای موسمی است که بر بارش‌های منطقه تأثیر می‌گذارد. این مطالعه نشان می‌دهد که سواحل جنوبی ایران در دهه‌های آینده با تشدید خشکسالی‌های کوتاه‌مدت و بلندمدت مواجه خواهد شد، به‌طوری‌که تحت سناریوی SSP5-8.5، برخی مناطق مانند بندرلنگه ممکن است به شرایط نیمه‌بیابانی دائمی نزدیک شوند. با این حال، سناریوی SSP1-2.6 امیدهایی برای تعدیل اثرات از طریق کاهش انتشار گازهای گلخانه‌ای ارائه می‌دهد. اجرای راهکارهای مدیریتی پیشنهادی، همراه با همکاری بین‌المللی برای کاهش انتشار کربن، می‌تواند از تبدیل این منطقه به یک کانون بحران آب جلوگیری کند.

بحث و نتیجه‌گیری

بررسی حاضر با هدف تحلیل روند خشکسالی در سواحل جنوبی ایران با استفاده از شاخص بارش استاندارد شده در مقیاس‌های ۱۲ و ۴۸ ماهه برای داده‌های تاریخی و همچنین تحت سناریوهای اقلیمی SSP1-2.6 (خوش‌بینانه) و SSP5-8.5 (بدینانه) برای دوره آینده انجام شد. نتایج نشان داد که تغییر اقلیم، به‌ویژه تحت سناریوی بدینانه SSP5-8.5، می‌تواند منجر به افزایش فراوانی و شدت خشکسالی در این منطقه شود. بررسی خشکسالی‌های تاریخی سواحل جنوبی ایران نشان داد که این منطقه در دهه‌های اخیر تحت تأثیر دوره‌های متناوب خشکسالی و ترسالی قرار داشته است. نتایج تحلیل شاخص SPI با داده‌های مشاهداتی نشان داد که الگوهای خشکسالی در این منطقه پیچیده بوده و تحت تأثیر عوامل متعددی از جمله تغییرات در سیستم‌های جوی، الگوهای گردش اقیانوسی و فعالیت‌های انسانی قرار دارند. یافته‌ها نشان داد که خشکسالی‌های شدید و طولانی‌مدت در دهه‌های اخیر به‌ویژه پس از سال ۲۰۰۰ در این منطقه شدت یافته است. نتایج این پژوهش همسو با یافته‌های مطالعات پیشین درخصوص افزایش وقوع خشکسالی در مناطق خشک و نیمه‌خشک است. برای مثال، مطالعه‌ای که توسط ملکیان و محمدی (۱۴۰۱) در کرمانشاه انجام شد، نشان داد که تغییرات اقلیمی منجر به افزایش شدت و مدت خشکسالی‌ها شده است. این یافته‌ها تأثیرات گستره‌تر گرمایش جهانی بر الگوهای بارش و افزایش تبخیر را تأیید می‌کنند. با این حال، برخی از مطالعات دیگر نتایج متفاوتی را نشان داده‌اند. برای مثال، گودرزی و فاتحی‌فر (۱۴۰۱) در مطالعه‌ای بر روی حوضه آبخیز آذرشهر چای، نشان دادند که تغییر اقلیم ممکن است منجر به افزایش بارش‌های حداکثر در برخی فصول شود. این تفاوت در نتایج می‌تواند ناشی از تفاوت در مقیاس مطالعات، مناطق مورد بررسی و روش‌های مورد استفاده باشد. زارعی، مقیمی و بهرامی (۱۳۹۶) نیز در بررسی روند خشکسالی در جنوب شرقی ایران،

1. Tipping Point

افزایش معنادار خشکسالی‌های شدید را گزارش کردند، مشابه آنچه در ایستگاه‌های بوشهر و بندرلنگه مشاهده شد. پیش‌بینی‌های این پژوهش نشان می‌دهد که تحت سناریوی بدینانه SSP5-8.5، سواحل جنوبی ایران با افزایش قابل توجه در شدت و فراوانی خشکسالی‌ها مواجه خواهد شد. این یافته‌ها با نتایج بسیاری از مطالعات جهانی و منطقه‌ای همخوانی دارد که نشان می‌دهند تغییر اقلیم می‌تواند منجر به تشديد خشکسالی در بسیاری از مناطق جهان شود. مطالعات جهانی متعددی نشان داده‌اند که افزایش غلظت گازهای گلخانه‌ای در جو می‌تواند منجر به تغییر در الگوهای گردش جوی و افزایش دما شود که این تغییرات می‌توانند به‌نوبه خود منجر به کاهش بارش و افزایش تبخیر و درنتیجه تشديد خشکسالی شوند (میشر، تیموری و کومار، ۲۰۲۲). در مطالعه عزیزی و عباسی (۱۴۰۴) با استفاده از داده‌های ماهواره‌ای، پیش‌بینی شدت و تداوم خشکسالی‌ها در آینده تحت تأثیر تغییرات اقلیمی تأیید گردید. این نتایج با پیش‌بینی‌های مدل MPI-ESM1.2-HR در این پژوهش که کاهش SPI تا ۳۰ درصد تحت سناریوی SSP5-8.5 را نشان می‌دهد، همسوست. همچنین، اصفهانی، سلطانی و مدرسی (۲۰۱۶) در تحلیل داده‌های اقلیمی نیم قرن اخیر ایران، کاهش بارش و افزایش دما را به عنوان عوامل کلیدی تشديد خشکسالی معرفی کردند که در تحلیل مکانیزم‌های اقلیمی این پژوهش (مانند تقویت پرفشار جنب حاره‌ای عربستان) بازتاب یافته است.

مطالعه خلیلی، کونار و فرامرزی (۲۰۲۴) بر کاربرد شاخص‌های چندمقیاسی مانند SPI و SPEI در ایران تأکید دارد. یافته‌های حاضر نیز نشان داد که SPI در مقیاس ۴۸ ماهه، روندهای بلندمدت خشکسالی را با دقت بیشتری آشکار می‌کند؛ به‌ویژه در جزیره کیش که کاهش پیوسته ذخایر آب زیرزمینی ناشی از خشکسالی‌های تجمعی مشاهده می‌گردد. این مسئله با پژوهش فرجزاده و احمدیان (۱۳۹۳) که کاهش تعذیب سفرهای آب زیرزمینی در دشت‌های ایران را گزارش می‌کند، هماهنگ است. در سطح جهانی نیز، افزایش خشکسالی‌ها در مناطق خشک تحت تأثیر تغییرات اقلیمی بارها گزارش شده است. ویسته-سرانو، پنیا‌آنگولو (۲۰۲۲) در تحلیل خشکسالی‌های اروپا و مدیترانه، کاهش بارش و افزایش دما را عامل اصلی تشديد خشکسالی‌ها دانستند که با نتایج این پژوهش در ایستگاه بوشهر (ترکیب کاهش بارش و افزایش تبخیر) همخوانی دارد. اسپینونی، باریوسا و بوکینیانی (۲۰۲۱) نیز پیش‌بینی کردند که خشکسالی‌های شدید در جنوب اروپا و خاورمیانه تا سال ۲۰۴۰ افزایش خواهد یافت، که با پیش‌بینی‌های مدل SSP5-8.5 تحت سناریوی MPI-ESM1.2-HR در این مطالعه سازگاری دارد. میشر، تیموری و کومار (۲۰۲۲) در هند نیز کاهش فعالیت موئسون و افزایش خشکسالی‌های طولانی مدت را گزارش کردند که مشابه الگوهای مشاهده شده در ایستگاه چابهار (تحت تأثیر موئسون هند) است.

لازم به یادآوری است که استفاده از مدل‌های CMIP6 در این پژوهش با مطالعاتی مانند المزروعی، و همکاران (۲۰۲۰) که دقت بالای این مدل‌ها را در شبیه‌سازی اقلیم خاورمیانه تأیید کرده‌اند، همسوست. همچنین، گمبیل و همکاران (۲۰۲۱) در ایالات متحده نشان دادند که مدل‌های اقلیمی پیشرفته می‌توانند الگوهای خشکسالی بلندمدت را با دقت شناسایی کنند، همان‌طور که در این مطالعه، مدل MPI-ESM1.2-HR کاهش SPI را تا سال ۲۰۴۳ پیش‌بینی کرد. اگرچه بسیاری از مطالعات پیشین بر روند کلی خشکسالی در ایران مرکز بودند، این پژوهش با تحلیل تفاوت‌های مکانی در سواحل جنوبی (از خلیج فارس تا دریای عمان) و تأثیر توده‌های هوایی خاص (مانند موئسون هند و پرفشار عربستان)، دیدگاه دقیق‌تری را ارائه داد. برای مثال، تفاوت شدت خشکسالی در ایستگاه‌های غربی (بوشهر) و شرقی (چابهار) تحت سناریوی SSP5-8.5، ناشی از مکانیزم‌های اقلیمی متفاوت است که در مطالعات پیشین کمتر بررسی شده بود. همچنین، شناسایی نقطه عطف بحرانی در سال ۲۰۳۵ تحت هر دو سناریو، یافته‌های مهم است که لزوم اقدامات فوری برای کاهش انتشار گازهای گلخانه‌ای را برجسته می‌کند. نتایج این پژوهش پیامدهای مهمی برای مدیریت منابع آب و برنامه‌ریزی منطقه‌ای در سواحل جنوبی ایران به ارمغان آورد. با توجه به پیش‌بینی افزایش شدت و فراوانی خشکسالی‌ها، اتخاذ اقدامات سازگاری از قبیل توسعه سیستم‌های هشدار زودهنگام خشکسالی، بهبود مدیریت منابع آب و افزایش بهره‌وری مصرف آب، تغییر الگوهای کشت و توسعه کشاورزی مقاوم به خشکی، تنوع بخشیدن به منابع اقتصادی و کاهش وابستگی به کشاورزی و همچنین افزایش آگاهی عمومی درخصوص خشکسالی و روش‌های سازگاری با آن، برای کاهش اثرات منفی این پدیده ضروری است.

References

- Ababaei, B., & Ramezani Etedali, H. (2019). Investigating climate change over 1957–2016 in an arid environment with three drought indexes. *Theoretical and Applied Climatology*, 137, 2977-2992.
- Aleboali, A., Ghazavi, R., & Satatinejad, S. J. (2022). Study the effects Of Drought on Groundwater Resources using SPI Index (A Case Study: Kashan Plain). *Desert Ecosystem Engineering*, 5(10), 13-22. (in Persian).
- Alizadeh-Choopari, O., & Najafi, M. S. (2018). Climate variability in Iran in response to the diversity of the El Niño-Southern Oscillation. *International Journal of Climatology*, 38(11), 4239-4250.
- Almazroui, M., Islam, M. N., Saeed, S., Saeed, F., & Ismail, M. (2020a). Future changes in climate over the Arabian Peninsula based on CMIP6 multimodel simulations. *Earth Systems and Environment*, 4, 611-630.
- Almazroui, M., Saeed, S., Saeed, F., Islam, M.N., & Ismail, M., (2020b). Projections of precipitation and temperature over the South Asian countries in CMIP6. *Earth Systems and Environment*, 4, 297-320.
- Ansari Amoli, A., Aghighi, H., & Lopez-Baeza, E. (2022). Drought risk evaluation in Iran by using geospatial technologies. *Remote Sensing*, 14(13), 3096.
- Azizi, M. & Abbasi, A. (2025). Developing a Robust Data-Driven Model Based on Ground and Satellite Measured Data for Agricultural Drought Prediction in Iran. *Ferdowsi Civil Engineering*, 38(1), 1-28. doi: 10.22067/jfcei.2024.88855.1311. (in Persian).
- Bo-Tao, Z. H. O. U., & Jin, Q. I. A. N. (2021). Changes of weather and climate extremes in the IPCC AR6. *Advances in Climate Change Research*, 17(6), 713.
- Cook, B. I., Mankin, J. S., Marvel, K., Williams, A. P., Smerdon, J. E., & Anchukaitis, K. J. (2020). Twenty-first century drought projections in the CMIP6 forcing scenarios. *Earth's Future*, 8(6), e2019EF001461.
- Dai, A. (2011). Drought under global warming: a review. *Wiley Interdisciplinary Reviews: Climate Change*, 2(1), 45-65.
- Eyring, V., Bony, S., Meehl, G. A., Senior, C. A., Stevens, B., Stouffer, R. J., & Taylor, K. E. (2016). Overview of the Coupled Model Intercomparison Project Phase 6 (CMIP6) experimental design and organization. *Geoscientific Model Development*, 9(5), 1937-1958.
- Fakhar, M. S., & Nazari, B. (2024). Monitoring and Assessing Spatial and Temporal Characteristics of Drought in Iran Using Remote Sensing. *Journal of Drought and Climate change Research*, 2(1), 39-58. doi: 10.22077/jdcr.2024.7011.1050. (in Persian).
- Farajzadeh, M., & Ahmadian, K. (2014). Temporal and Spatial Analysis of Drought with use of SPI Index in Iran. *Journal of Natural Environmental Hazards*, 3(4), 1-16. doi: 10.22111/jneh.2014.2464. (in Persian).
- Gamble, J. D., Feyereisen, G. W., Griffis, T. J., Wente, C. D., & Baker, J. M. (2021). Long-term ecosystem carbon losses from silage maize-based forage cropping systems. *Agricultural and Forest Meteorology*, 306, 108438.
- Goodarzi, M., & Fatehifar, A. (2022). Assessment of Climate Change Effects on Meteorological Variables and Maximum Precipitation under New RCP Emission in Watershed. *Human & Environment*, 20(2), 111-127. (in Persian).
- Iran Meteorological Organization. (2019). *Climatic Atlas of Iran*. Tehran: Iran Meteorological Organization. (in Persian).
- Isfahani, P. M., Soltani, S., & Modarres, R. (2022). Assessing agrometeorological drought trends in Iran during 1985–2018. *Theoretical and Applied Climatology*, 150(1), 251-262.
- Khalili, P., Konar, M., & Faramarzi, M. (2024). Modelling the impacts of future droughts and post-droughts on hydrology, crop yields, and their linkages through assessing virtual water trade in agricultural watersheds of high-latitude regions. *Journal of Hydrology*, 639, 131530.
- Lloyd-Hughes, B., & Saunders, M. A. (2002). A drought climatology for Europe. *International journal of climatology*, 22(13), 1571-1592.
- Malekian, A., & Mohammadi, P. (2022). Investigating Changes in Some Climate Variables under the Future Climate Scenarios for a Semi-Arid Region. *Desert Ecosystem Engineering*, 10(30), 65-80. doi: 10.22052/deej.2021.10.30.41. (in Persian).

- Mauritsen, T., Bader, J., Becker, T., Behrens, J., Bittner, M., Brokopf, R., ... & Fast, I. (2019). Developments in the MPI-M Earth System Model version 1.2 (MPI-ESM1.2) and its response to increasing CO₂. *Journal of Advances in Modeling Earth Systems*, 11(4), 998-1038.
- McKee, T. B., Doesken, N. J., & Kleist, J. (1993, January). The relationship of drought frequency and duration to time scales. In *Proceedings of the 8th Conference on Applied Climatology*, 17(22), 179-183.
- Mirgol, B., Nazari, M., Etedali, H. R., & Zamanian, K. (2021). Past and future drought trends, duration, and frequency in the semi-arid Urmia Lake Basin under a changing climate. *Meteorological applications*, 28(4), e2009.
- Mishra, A. K., & Singh, V. P. (2010). A review of drought concepts. *Journal of hydrology*, 391(1-2), 202-216.
- Mishra, V., Tiwari, A. D., & Kumar, R. (2022). A framework to incorporate spatiotemporal variability of rainfall extremes in summer monsoon declaration in India. *Environmental Research Letters*, 17(9), 094039.
- Modarres, R., Sarhadi, A., & Burn, D. H. (2016). Changes of extreme drought and flood events in Iran. *Global and Planetary Change*, 144, 67-81.
- Mukherjee, S., Mishra, A., & Trenberth, K. E. (2018). Climate change and drought: a perspective on drought indices. *Current climate change reports*, 4, 145-163.
- O'Neill, B. C., Tebaldi, C., Van Vuuren, D. P., Eyring, V., Friedlingstein, P., Hurtt, G., ... & Meehl, G. A. (2016). The scenario model intercomparison project (ScenarioMIP) for CMIP6. *Geoscientific Model Development*, 9(9), 3461-3482.
- Razavi Pashabeigh, M., Amininia, K., SAGHEBIAN, S., & Ghasempour, R. (2025). Assessment of Drought Severity Based on Remote Sensing Using a Multi-scale Intelligent Method (Case Study: Northwest Iran). *Water Management in Agriculture*, 11(2), 145-164. (in Persian).
- Riahi, K., Van Vuuren, D. P., Kriegler, E., Edmonds, J., O'Neill, B. C., Fujimori, S., ... & Lutz, W. (2017). The Shared Socioeconomic Pathways and their energy, land use, and greenhouse gas emissions implications: An overview. *Global environmental change*, 42, 153-168.
- Saniesales, F., Soltani, S., & Modarres, R. (2021). Evaluation of new drought index of SPDI (Standardized Palmer Drought Index) in Chaharmahal-Va-Bakhtiari province. *Journal of Water and Soil Science*, 25(2), 1-12. (in Persian).
- Spinoni, J., Barbosa, P., Bucchignani, E., Cassano, J., Cavazos, T., Cescatti, A., ... & Forzieri, G. (2021). Global exposure of population and land-use to meteorological droughts under different warming levels and SSPs: A CORDEX-based study. *International Journal of Climatology*, 41(15), 6825-6853.
- Touma, D., Stevenson, S., Lehner, F., & Coats, S. (2021). Human-driven greenhouse gas and aerosol emissions cause distinct regional impacts on extreme fire weather. *Nature Communications*, 12(1), 212.
- Trenberth, K. E. (2011). Changes in precipitation with climate change. *Climate research*, 47(1-2), 123-138.
- Vicente-Serrano, S. M., Beguería, S., & López-Moreno, J. I. (2010). A multiscalar drought index sensitive to global warming: the standardized precipitation evapotranspiration index. *Journal of climate*, 23(7), 1696-1718.
- Vicente-Serrano, S. M., Peña-Angulo, D., Beguería, S., Domínguez-Castro, F., Tomás-Burguera, M., Noguera, I., ... & El Kenawy, A. (2022). Global drought trends and future projections. *Philosophical Transactions of the Royal Society A*, 380(2238), 20210285.
- Wilby, R. L., Wigley, T. M. L., Conway, D., Jones, P. D., Hewitson, B. C., Main, J., & Wilks, D. S. (1998). Statistical downscaling of general circulation model output: A comparison of methods. *Water resources research*, 34(11), 2995-3008.
- World Meteorological Organization. (2012). *Standardized precipitation index user guide*. World Meteorological Organization, 1090.
- Zarei, A. R., Moghimi, M. M., & Bahrami, M. (2017). Monitoring and Prediction of Monthly Drought using Standardized Precipitation Index and Markov Chain (Case study: southeast of Iran). *Geography and Environmental Sustainability*, 7(2), 39-51. (in Persian).
- Zenali, B. (2019). Investigation and prediction of iranian drought using composite indices. *Iranian Journal of Rainwater Catchment Systems*, 7(3), 21-36. (in Persian).